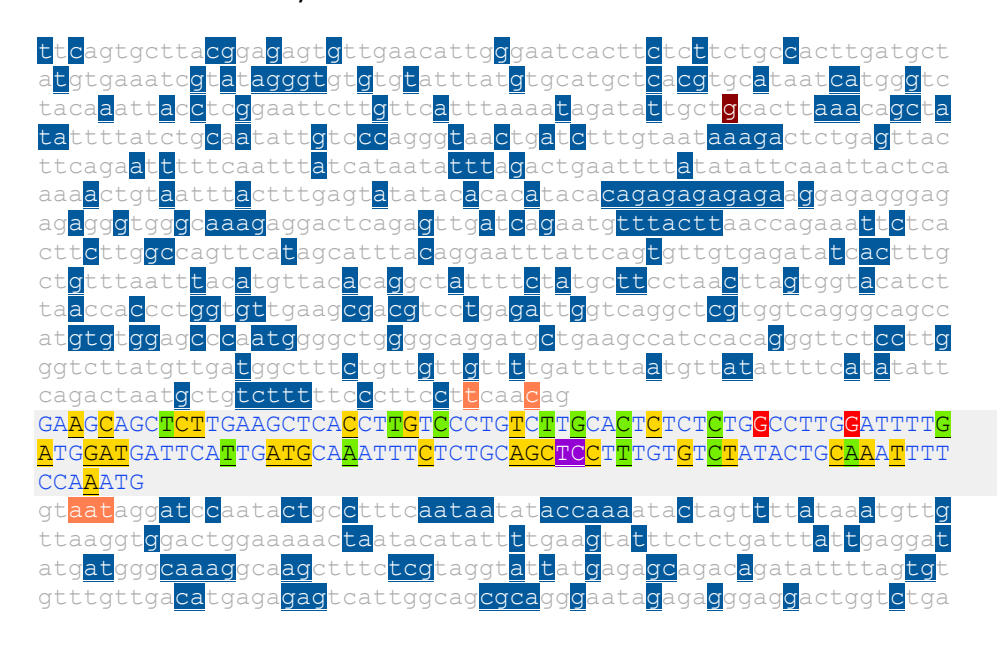
Ejemplo comparación de resultados predictores in sillico

Cambio de estudio RTTN c.5824-590G>A (chr18:70025438 G/A, COSV55350104 o NM 173630.4: c.5824-590G>A)

Exón 44 e intrones adyacentes:



El cambio se encuentra en la tercera línea del intrón 43 (la **g** en color granate).

Se va a obtener los resultados que produce analizar esta variable con los diferente predictores y ver cuál de ellos es más preciso.

NetGene2

Donor splice sites, direct strand	Donor splice sites, direct strand
No donor site predictions above threshold.	No donor site predictions above threshold.
Donor splice sites, complement strand	Donor splice sites, complement strand
421 702 1 - 0.34 TGC 130 993 1 - 0.36 GAA	exon intron 3' pos 3'->5' pos 5'->3' phase strand confidence 5' exon intron 3' GGGACAAG^GTGAGCTTCA 776 347 2 - 0.62 CAGGGACAAG^GTGAGCTTCA GCCAAGAA^GTGAGAATTT 421 702 1 - 0.34 TGGCCAAGAA^GTGAGAATTT ATTCCGAG^GTAATTTGTA 130 993 1 - 0.34 GAATTCCGAG^GTAATTTGTA CACTCTCC^GTAAGCACTG 12 1111 - 0.00 AACACTCTCC^GTAAGCACTG
Acceptor splice sites, direct strand	Acceptor splice sites, direct strand
	intron exon 3' pos 5'->3' phase strand confidence 5' intron exon 3' TTCAACAG^GAAGCAGCTC 755 2 + 0.56 CCTTCAACAG^GAAGCAGCTC TCTCGTAG^GTATTATGAG 1031 1 + 0.00 TTTCTCGTAG^GTATTATGAG
Acceptor splice sites, complement strand	Acceptor splice sites, complement strand
657 466 0 - 0.18 AAC 654 469 0 - 0.18 ACC	intron exon 3' pos 3'->5' pos 5'->3' phase strand confidence 5' intron exon 3' AACATAAG^ACCCAAGGAG GACCCAAG^GAGAACCCTG GACCCAAG^AGACCCTG CCAAGGAG^AACCCTGTGG GGCTTCAG^CATCCTGCCC GAGAGACCCCCC GAGAGACCCAGCCCCC GAGAGACCCAGCCCCC GAGAGACCCCAGCCCCC GAGAGACCCCTGCCC GAGAGACCCCCCC GAGAGACCCCCCCC GAGAGACCCCCCCC

Hay un cambio en uno de los sitios acceptor predichos (en azul) por la presencia de la mutacion. Sin embargo, este no se emplea en el splicing ni cambia su score, por lo que no se tendrá en cuenta.

Splice Site Prediction by Neural Network (NNSplice)

Dono	Donor site predictions for wt:					Donor site predictions for mut:					
Start	End	Score	Exon Intron		Start	End	Score	Exon	Intron		
71	85	0.55	gtatagg gt gtgtgt		71	85	0.55	gtatagg	gt gtgtgt		
200	214	0.82	tcccagg gt aactga		200	214	0.82	tcccagg	gt aactga		
526	540	0.73	cttagtg gt acatct		526	540	0.73	cttagtg	gtacatct		
876	890	0.68	ccaaatg gt aatagg		876	890	0.68	ccaaatg	gtaatagg		
Accej	Acceptor site predictions for wt :						te predic	tions for	mut :		
Start	End	Score	Intron	Exon	Start	End	Score	Intron	Exon		
137	177	0.45	attcttgttcatttaaa	at ag atattgctgcacttaaacag	137	177	0.52	attcttg	ttcatttaaaat ag atattgctacacttaaacag		
735	775	0.99	ctttttcccttccttca	ac ag gaagcagctcttgaagctca	735	775	0.99	ctttttc	ccttccttcaac ag gaagcagctcttgaagctca		
828	868	0.72	ttgatgcaaatttctct	828	868	0.72	ttgatgc	aaatttctctgc ag ctcctttgtgtctatactgc			
1011	1051	0.85	caaaggcaagctttctc	gt ag gtattatgagagcagacaga	1011	1051	0.85	caaaggc	aagctttctcgt ${f ag}$ gtattatgagagcagacaga		

Se produce un cambio en uno de los sitios acceptor predichos (en amarillo) por la presencia de la mutación. Este cambio hace que el score del sitio aumente, lo que podría llevar a que el complejo de splicing, lo reconociera alterando el mensajero resultante.

Spliceman

Point mutation	Wildtype (wt)	Mutation (mt)	L1 distance	Ranking (L1)
ttgct(g/a)cactt	tgctgc	tgctac	29650	72%

Human Splicing Finder

Alteration of auxiliary sequences	Signific	Significant alteration of ESE / ESS motifs ratio (3)						
Algorithm/Matix		position	sequence					
EIE (New ESE Site)		chr18:70025440	CTACAC					
ESE_SRp40 (New ESE Site)		chr18:70025440	CTACACT					
EIE (New ESE Site)		chr18:70025441	GCTACA					
ESE_SRp55 (ESE Site Broken)		chr18:70025442	TGCTGC					
EIE (New ESE Site)		chr18:70025442	TGCTAC					

SVM-BPfinder

seq_id	agez	ss_dist	bp_seq bp_scr	y_cont ppt_off	ppt_len	ppt_scr	svm_scr				
wt	23	52	aaattacct	-0.0698462321051	L	0.55319	1489362	9	13	27	0.23493732
wt	23	34	tgttcattt	-0.935860554115	0.482758	362069	29	0	0	-1.644	13902
wt	23	30	catttaaaa	-3.83973244712	0.44	25	0	0	-2.54	20098	
wt	23	29	atttaaaat	-1.95061244719	0.458333	3333333	24	0	0	-1.733	31106
mut	23	52	aaattacct	-0.0698462321051	L	0.55319	1489362	9	13	27	0.23493732
mut	23	34	tgttcattt	-0.935860554115	0.482758	362069	29	0	0	-1.644	13902
mut	23	30	catttaaaa	-3.83973244712	0.44	25	0	0	-2.54	20098	
mut	23	29	atttaaaat	-1.95061244719	0.458333	333333	24	0	0	-1.733	31106

Variant Effect Predictor tool

						,						
ENST00000255674.11:c.5824- 590G>A	18:70025438- T 70025438	intron_variant	RTTN	ENSG00000176225 Transcript	ENST00000255674.11 protein_co	oding -	-	-	-	-	-	COSV55350104
ENST00000255674.11:c.5824- 590G>A	18:70025438- T 70025438	intron_variant	RTTN	ENSG00000176225 Transcript	ENST00000578780.2 protein_co	oding -	-	-	-	-	-	COSV55350104
ENST00000255674.11:c.5824- 590G>A	18:70025438- T 70025438	intron_variant, NMD_transcript_variant	RTTN	ENSG00000176225 Transcript	ENST00000579986.6 nonsense_	_mediated_decay -	-	-	-	-	-	COSV55350104
ENST00000255674.11:c.5824- 590G>A	18:70025438- T 70025438	upstream_gene_variant	RTTN	ENSG00000176225 Transcript	ENST00000580034.2 retained_ir	intron -	-	-	-	-	-	COSV55350104
ENST00000255674.11:c.5824- 590G>A	18:70025438- T 70025438	intron_variant, NMD_transcript_variant	RTTN	ENSG00000176225 Transcript	ENST00000581161.5 nonsense_	_mediated_decay -	-	-	-	-	-	COSV55350104
ENST00000255674.11:c.5824- 590G>A	18:70025438- T 70025438	intron_variant, NMD_transcript_variant	RTTN	ENSG00000176225 Transcript	ENST00000583043.5 nonsense_	_mediated_decay -	-	-	-	-	-	COSV55350104
ENST00000255674.11:c.5824- 590G>A	18:70025438- T 70025438	intron_variant, non_coding_transcript_variant	RTTN	ENSG00000176225 Transcript	ENST00000583765.1 processed	d_transcript -	-	-	-	-	-	COSV55350104
ENST00000255674.11:c.5824- 590G>A	18:70025438- T 70025438	intron_variant, non_coding_transcript_variant	RTTN	ENSG00000176225 Transcript	ENST00000639128.1 retained_ir	intron -	-	-	-	-	-	COSV55350104
ENST00000255674.11:c.5824- 590G>A	18:70025438- T 70025438	intron_variant, NMD_transcript_variant	RTTN	ENSG00000176225 Transcript	ENST00000639487.1 nonsense_	_mediated_decay -	-	-	-	-	-	COSV55350104
ENST00000255674.11:c.5824- 590G>A	18:70025438- T 70025438	upstream_gene_variant	RTTN	ENSG00000176225 Transcript	ENST00000640525.1 retained_ir	intron -	-	-	-	-	-	COSV55350104
ENST00000255674.11:c.5824- 590G>A	18:70025438- T 70025438	intron_variant	RTTN	ENSG00000176225 Transcript	ENST00000640769.2 protein_co	oding -	-	-	-	-	-	COSV55350104
ENST00000255674.11:c.5824- 590G>A	18:70025438- T 70025438	intron_variant	RTTN	ENSG00000176225 Transcript	ENST00000677824.1 protein_co	oding -	-	-	-	-	-	COSV55350104
ENST00000255674.11:c.5824- 590G>A	18:70025438- T 70025438	intron_variant, NMD_transcript_variant	RTTN	ENSG00000176225 Transcript	ENST00000679113.1 nonsense_	_mediated_decay -	-	-	-	-	-	COSV55350104

ESEfinder

Se observan dos resultados con puntuaciones positivas para las matrices tres prima (143 y 163):

143 gttcatttaaaatagatattgctgcactta -8.	.48850	143 gttcatttaaaatagatattgctgc	cactta 0.96960	143 (-980) gttcatttaaaatagatattgctgcactta	-9.02510	143 (-980) gttcatttaaaatagatattgctgcactta	0.64250
163 (-960) gctgcacttaaacagctatattttatctgc -3.	.36130	163 gctgcacttaaacagctatatttta	atctgc 0.06840	163 (-960) gctgcacttaaacagctatattttatctgc	-4.11040	163 (-960) gctgcacttaaacagctatattttatctgc	0.02000

Cuando se comparan estas puntuaciones con las equivalentes en la secuencia mutante, se observa que, para ambos casos, las puntuaciones han bajado, haciendo que la puntuación para 163 pase a ser negativa:

143 (-980) gttcatttaaaatagatattgctacactta -8.72960	143 (-980) gttcatttaaaatagatattgctacactta	0.58260	143 (-980) gttcatttaaaatagatattgctacactta -9.49	530 (-	143 -980) gttcatttaaaatagatattgctacactta 0.30530
163 (-960) gctacacttaaacagctatattttatctgc -3.59470	163 (-960) gctacacttaaacagctatattttatctgc -	-0.39540	163 (-960) gctacacttaaacagctatattttatctgc -4.2983	0 (-9	163 gctacacttaaacagctatattttatctgc -0.58760

